

Баскина, О.А. Богатиков и др. – М.: Наука, 1985. – 367 с.

УДК 550.831.05(571.1)

## СТАТИСТИЧЕСКАЯ ПАРАМЕТРИЗАЦИЯ СИММЕТРИЧНЫХ ГЕОФИЗИЧЕСКИХ ОБЪЕКТОВ

В.Н. Устинова, И.Г. Устинова

Томский государственный университет  
E-mail: [ustinova@ggf.tsu.ru](mailto:ustinova@ggf.tsu.ru)

В строении и иерархической согласованности дискретных геолого-геофизических объектов выявляется определённая закономерность и упорядоченность в их размерах. Она обнаруживается в форме структур, в их пространственном расположении и временном следовании. Повторяемость форм проявляется и достаточно легко типизируется в морфологии поверхностей и морфологических сочетаниях геофизических полей. Математическая идентификация типового облика структур эффективно выполняется с использованием автокорреляционного анализа и фильтров Винера.

Геолого-геофизические объекты на любом из изучаемых уровней организации есть система систем и могут рассматриваться как упорядоченное множество дискретных элементов [1–3]. Любая геолого-геофизическая моносистема представима как двух-, трёх- и более компонентная с эмерджентными свойствами. В вертикальном разрезе дискретность и вложенность геолого-геофизических систем обнаруживается в наличии разнопорядковых циклитов [4]. На поверхности земных оболочек она проявляется в мозаичной, но закономерно построенной совокупности геологических объектов [5]. Дискретность оболочечных объектов имеет прямоугольную симметрию [6, 7], которая осуществляется через систему ортогональных трещин; либо – квазиконцентрическую [8, 9], связанную со структурами центрального типа. Прямоугольные и концентрические блоки структурно согласованы и являются составными частями дискретно-иерархической [10] блоковой системы.

Вещественно-структурные комплексы осадочных нефтегазоносных бассейнов, формирующиеся в длительной истории геологического развития, имеют ряд устойчивых форм пространственно-морфологического проявления, в близких морфологических конфигурациях обнаруживаются в геофизических полях. Типовые морфологические сочетания в нефтяной геофизике достаточно надёжно выявляются в палеоповерхностях, строящихся по сейсмическим данным, картах геофизических параметров (структурные карты, карты энергий

отражений и др.).

Устойчивые морфологические типы рельефа и потенциальных полей характеризуются: кольцевым; вихревым; спиральным; симметрично-сигмоидным [11] (взаимодополняемым по положительным и отрицательным формам); двух-, трёх-, четырёх-, семилучевым сочетанием [5] и т.д. основных элементов морфологии.

Для выявления и истолкования аномалий центрально-зонального типа могут использоваться различные методы. Среди них, в силу наличия типических сочетаний аномальных проявлений, наиболее эффективны вероятностно-статистические методы, методы классификации и др.

В рамках эргодичной и стационарной модели анализируемого поля (будь то геофизическое поле или рельеф поверхности) важные сведения о свойствах аномалий можно получить по автокорреляционной функции (АКФ), энергетическому спектру, математическому ожиданию. Наиболее информативными для оценки свойств составляющих потенциальных полей и полей сейсмических параметров являются функция автокорреляции и энергетический спектр. Среди параметров автокорреляционной функции, характеризующих форму и поперечные размеры изучаемых объектов, выделяются дисперсия, радиус нулевой корреляции [12] и др. Радиус нулевой корреляции даёт представление о скорости спада АКФ.

Для разнотипных геологических и геофизических объектов двумерные оценки функции автокорреляции

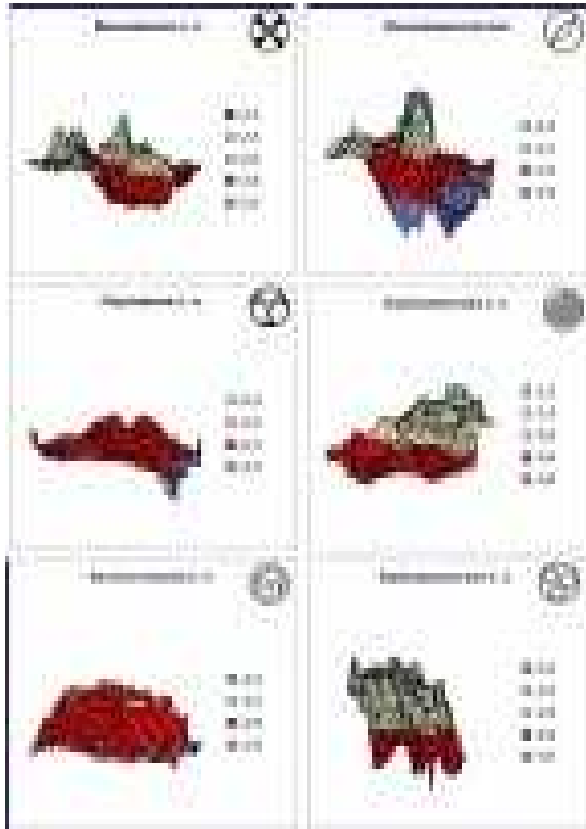


Рис. 1. Аксонометрические изображения для структур второго порядка по горизонту  $\Pi_2$  юго-восточной части Западно-Сибирской плиты

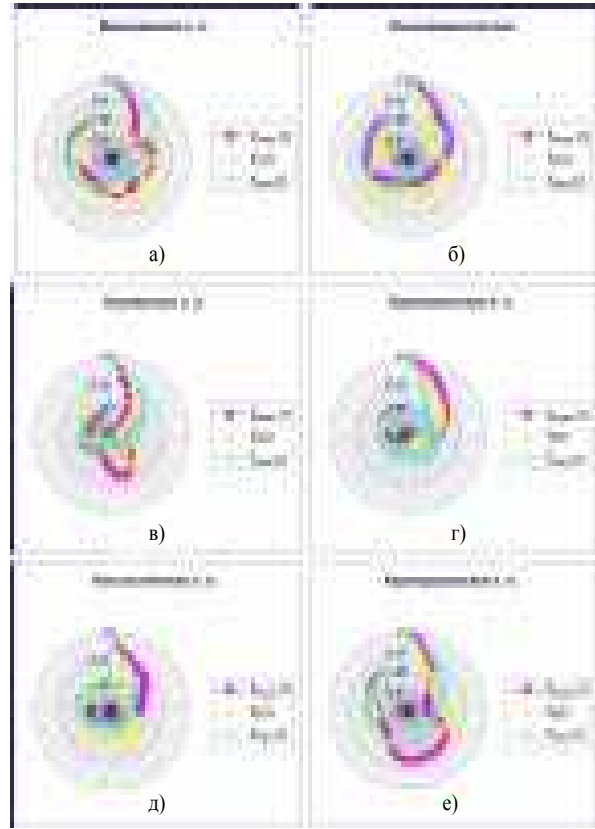


Рис. 2. Функции автокорреляции, построенные вдоль окружностей различных радиусов для структурных поверхностей верхнеюрских отложений территории исследований

могут служить критерием обнаружения их на структурных планах и в геофизических полях [12]. Оценка функций автокорреляции для морфологических объектов различного типа, по причине трехмерности объектов и ограниченности пространственных реализаций, представляет некоторые трудности.

Пусть  $\tilde{Y}(t)$  – стационарный процесс с математическим ожиданием  $M[\tilde{Y}(t)] = m$  и дисперсией  $D[\tilde{Y}(t)] = \sigma^2$  и функцией автокорреляции

$$R(\tau) = \frac{M[\tilde{Y}(t) \tilde{Y}(t+\tau)] - m^2}{\sigma^2},$$

где  $t$  – моменты измерений (либо точки измерений), а изучаемый процесс  $\tilde{Y}(t)$  наблюдается на отрезке от 0 до  $T$ . Пусть  $t_i = \tau_i$ ,  $i = 1, N$ , – людений являются величины  $\tilde{Y}_i = \tilde{Y}(t_i)$ , для которых необходимо построить оценку  $\hat{R}(\tau)$  функции автокорреляции на отрезке значений  $[0, T]$  аргумента  $\tau$ . Так как наблюдения (для структурных поверхностей, геофизических полей), зачастую, являются функцией двух независимых аргументов  $x, y$ , при оценке двумерной функции автокорреляции и создании эффективных расчётных схем приходится делать некоторые упрощения.

Из обобщения теоремы Биркгофа-Хинчина [13] для эргодических процессов (среднее по совокупности реализаций совпадает с математическим ожиданием и процесс имеет конечную дисперсию) следует возможность оценивания корреляционной функции по единственной

реализации процесса. Вычисление функции автокорреляции по контуру геометрической фигуры (накладываемой на площадную реализацию анализируемого поля), по форме близкой к натурным объектам (окружности, спирали Архимеда, розе Гвидо Гранди и др.), позволяет несколько упростить расчётные схемы и уменьшить их влияние на результаты оценивания  $\hat{R}(\tau)$ .

Если изучаемый процесс  $\tilde{Y}(t)$  наблюдается на отрезке от 0 до  $T$ , где  $T = 2\pi r$ ,  $r$  – радиус окружности, вдоль которой ведутся наблюдения, окружность радиуса  $r$  можно задать параметрическими уравнениями

$$\begin{cases} \xi = r \cos \tau \\ \psi = r \sin \tau \end{cases}$$

Наблюдения  $\tilde{Y}(t)$  в этом случае становятся функцией одного независимого переменного  $t$  и для оценки автокорреляционной функции можно воспользоваться известной формулой [12]

$$\hat{R}(\tau) = \frac{\frac{1}{N} \sum_{i=1}^N [\tilde{Y}(t_i) - \bar{Y}] [\tilde{Y}(t_{i+\tau}) - \bar{Y}]}{\frac{1}{N} \sum_{i=1}^N [\tilde{Y}(t_i) - \bar{Y}]^2},$$

Для типизации форм структур и аномалий потенциальных полей авторы прибегли к расчёту функций автокорреляции по функционально заданным направлениям. АКФ, вычисленные для нескольких типов палеоперехностей (рис. 1), с использованием окружности, спирали

Архимеда и роз Гвидо Гранди и др. показали эффективность такого подхода. Типичные формы рельефа являются устойчивыми морфологическими проявлениями, присутствуют в каждой структуре. Однако в рельефе (в морфологии поверхности или в геофизическом поле), зачастую, достаточно контрастно проявляется один или два преобладающих типа. Универсальность строения структур обнаруживается также в том, что типические образы имеют центрально-зональную симметрию. Симметрия имеет место, как в центральном сочетании («наложении») типовых форм, так и в их центрально-периферическом следовании. Например, в лучевых типах выявляется нарастание от центра на периферию структуры количества лучевых элементов [14].

Некоторые оценки автокорреляционных функций, рассчитанные по окружностям разных радиусов, представлены на рис. 2. Расчёты позволили выявить возможность максимального приближения автокорреляционной функции к типовой форме.

Структурные карты куполовидных поднятий (к.п.) построены в интервале глубин 2...3 км, с сечением 0,2 км, в кружках – геометрические образы типовых форм рельефа в плане палеоповерхности – в случае совпадения геометрического образа поверхности и геометрической фигуры, по которой выполняется расчёт АКФ (рис. 2, г, е). Преобладающий тип палеоповерхности наглядно проявляется в АКФ (рис. 2, а, б, в). В оценках функции автокорреляции обнаруживается центрально-периферическая изменчивость формы поднятия, с нарастанием (от свода к обрамлению) изрезанности структуры (рис. 2, а, д).

Полученные при типизации функции автокорреляции, в свою очередь, несут информацию о пространственных свойствах геофизических объектов, могут использоваться для фильтрации трёхмерных полей. Для случайного геолого-геофизического поля автокорреляционная функция согласно обратному преобразованию Фурье представляется интегралом

$$P_{\Sigma}(f, M) = \int_{-\infty}^{+\infty} \int_{-\infty}^{+\infty} \Sigma(f, M) e^{-i(fx + \mu y)} dx dy$$

где функция  $\Sigma(f, M)$  – спектр мощности с пространственными частотами  $\lambda, \mu$ . Спектр мощности, в свою очередь, может быть рассчитан из исходной функции с использованием преобразования Фурье, то есть

$$\Sigma(f, M) = \frac{1}{(2\pi)^2} \int_{-\infty}^{+\infty} \int_{-\infty}^{+\infty} P(x, y) e^{-i(fx + \mu y)} dx dy$$

Сделав замену переменных,  $x = r \cos \varphi$ ,  $y = r \sin \varphi$ ,  $\lambda = \omega \cos \psi$ ,  $\mu = \omega \sin \psi$ , в соответствии с требованиями полярной системы координат, где  $r, \omega$  и  $\psi, \varphi$  – радиусы, частоты и углы наклона полярных осей, получим

$$\Sigma(f, M) = \frac{1}{(2\pi)^2} \int_0^\infty P(r) r dr \int_0^{2\pi} e^{-i\omega r \cos(\varphi - \psi)} d\varphi$$

$$\Sigma(f, M) = \frac{1}{(2\pi)^2} \int_0^\infty P(r) r dr \int_{-\pi}^\pi e^{-i\omega r \cos(\varphi - \psi)} d\varphi$$

Так как внутренний интеграл представляет собой  $2\pi J_0(\omega r)$ , где  $J_0(\omega r)$  – функция Бесселя нулевого

порядка, согласно преобразованию Ханкеля [15]

$$\Sigma(f, M) = \frac{1}{2\pi} \int_0^\infty P(r) J_0(\omega r) r dr$$

Увеличивая размерность пространства и применяя аналогичные рассуждения можно получить спектр мощности в любом заданном пространстве [16]

$$\Sigma_{\pi}(f, M) = \left( \frac{2\pi}{\pi} \right)^{\frac{\pi-1}{2}} \int_0^\infty P(r) \frac{\Phi^{\pi-1P}(\Phi) J_{\frac{\pi-2}{2}}(\omega r)}{[\omega r]^{\frac{\pi-2}{2}}} r dr$$

где  $J_m$  – функция Бесселя порядка  $m$ ,  $\Phi$  – размерность координатного пространства равнодействующих на исследуемое поле неоднородностей.

В выражении (1), известном как преобразование Винера-Хинчина, верхний предел интегрирования бесконечный, однако, при анализе геофизических полей мы имеем дело с конечными реализациями. Для получения наилучшего приближения  $\Sigma_{\pi}(f, M)$  интегралом (1) в конечных пределах размер реализации  $L$  необходимо выбирать больше интервала существенных изменений  $\Sigma_{\pi}(f, M)$  интегральной функции. При задании величины  $L$ , будет определена тем точнее, чем быстрее с ростом  $r$  убывает подынтегральная функция. Для достижения настоящего требования, с учетом вида осциллирующего характера ядер

$\frac{J_m(\omega r)}{(\omega r)^m}$ , при различных  $\pi$ , необходимо выполнение следующего условия [17]

$$P \Phi \geq \frac{1}{\Phi^2} \quad (1)$$

$\pi = 3$ ,  $\Phi \geq 0$  при  $\pi = 2$ ,  $\Phi \geq \frac{1}{2}$  при  $\pi = 1$ ,  $1 > \Phi$  при  $\pi = 0$  для достоверности расчетов достаточно, чтобы случайного поля большей размерности затухала быстрее. При несоблюдении условия (2) появляются отрицательные значения  $\Sigma_{\pi}(f, M)$ , не имеющие физического смысла. Очевидно, если в предположении о  $\Sigma_{\pi}(f, M)$ ,  $\pi < M$  – реальная размерности, рассчитывать то в этом случае  $\Phi$  должна удовлетворять условию (2), и по спектру Винера может быть получена информация о пространственных свойствах объектов исследования. Отсюда следует критерий определения истинной размерности случайного поля: действительная размерность  $M$  поля равна максимальной  $\Sigma_{\pi}(f, M)$  в (1), при которой вычисленные значения  $\Sigma_{\pi}(f, M)$  еще положительны [17, 18]. Таким образом, форму объекта можно оценить по параметру  $M$  и радиусу нулевой корреляции  $r_0$  [19].

Настоящий критерий «знака» информативен в случае, когда мы имеем дело с реализацией поля конкретной размерности, но на геофизические поля оказывают влияние объекты с различными пространственными свойствами, на практике наиболее вероятны комбинации полей в пространстве. Так, в АКФ проявляется преобладающая форма объекта, его латеральная и пространственно-зональная изменчивость, пространственное строение, которые могут анализироваться, в том числе, через оценки спектра.

Спектр мощности  $S_K(\omega)$  является информативным



- кое строение нефтегазоносных комплексов Западной Сибири // Циклы: Матер. II Междунар. конф. – Ставрополь: Изд-во Сев.-Кавк. ГТУ, 2000. – С. 38–40.
6. Шульц С.С. Планетарная трещиноватость. – М.: Недра, 1973. – 213 с.
  7. Гарбар Д.И. Регомагenez древних платформ // Общая и региональная геология, геологическое картирование. Обзор ВИЭМС. – М., 1991. – 45 с.
  8. Соловьёв В.В. Структуры центрального типа территории СССР по геолого-геоморфологическим данным. – Л.: Изд-во ВСЕГЕИ, 1978. – 110 с.
  9. Глуховский М.З., Павловский Е.В. Кольцевые структуры ранних стадий развития Земли. Сравнительная планетология // Доклады XXVII Междунар. геол. конгр. – М.: Изд-во Ин-та литосферы АН СССР, 1984. – Т. 18. – С. 65–74.
  10. Садовский М.А., Писаренко В.Ф. Подобие в геофизике // Природа. – 1991. – № 1. – С. 13–24.
  11. Кац Я.Г., Козлов В.В., Полетаев А.И. Ротационные структуры земной коры. Обзор ВИЭМС. – М., 1990. – 41 с.
  12. Гордин В.М., Михайлов В.О. Применение критерия Колмогорова-Винера при решении задач фильтрации и разделения геофизических аномалий // Известия АН СССР. Физика Земли. – 1977. – № 2. – С. 48–63.
  13. Кендалл М. Дж., Стьюарт А. Многомерный статистический анализ и временные ряды. – М.: Наука, 1976. – 736 с.
  14. Локтюшин А.А. Экология: Структура и морфология // Деп. в ВИНТИ 22.7.1999. № 2410-В99. – 314 с.
  15. Вычислительная математика и техника в разведочной геофизике // Справочник геофизика: Под ред. В.И. Дмитриева. – М.: Недра, 1982. – 222 с.
  16. Сороко Л.М. Основы когерентной оптики и голографии. – М.: Наука, 1973. – 616 с.
  17. Марков Н.Г., Ширяев В.Ф. Методические рекомендации по применению принципов голографии в задачах грунтоведения // Методические рекомендации по геофизической голографии. – Томск: Изд-во ИОА СО АН СССР, 1982. – С. 83–92.
  18. Защинский Л.А., Ширяев В.Ф., Устинова В.Н. Исследование принципов квазиголографической микроскопии для анализа волновых полей в динамической сейсмике // Методические рекомендации по геофизической голографии. – Томск: Изд-во ИОА СО АН СССР, 1982. – С. 138–146.
  19. Луговенко В.Н. Статистический анализ аномального магнитного поля. – М.: Наука, 1974. – 200 с.
  20. Ярославский А.П. Введение в цифровую обработку изображений. – М.: Советское радио, 1979. – 512 с.
  21. Mesko A. Digital filtering applications in geophysical exploration for oil. – Budapest: Academia Kiado, 1984. – 636 p.